

MP-9236

Megaenclave de serie carbonatada, con alternancia de mármoles y calcoesquistos, en granitoide inhomogéneo.



MP-9237

Detalle de la anterior.





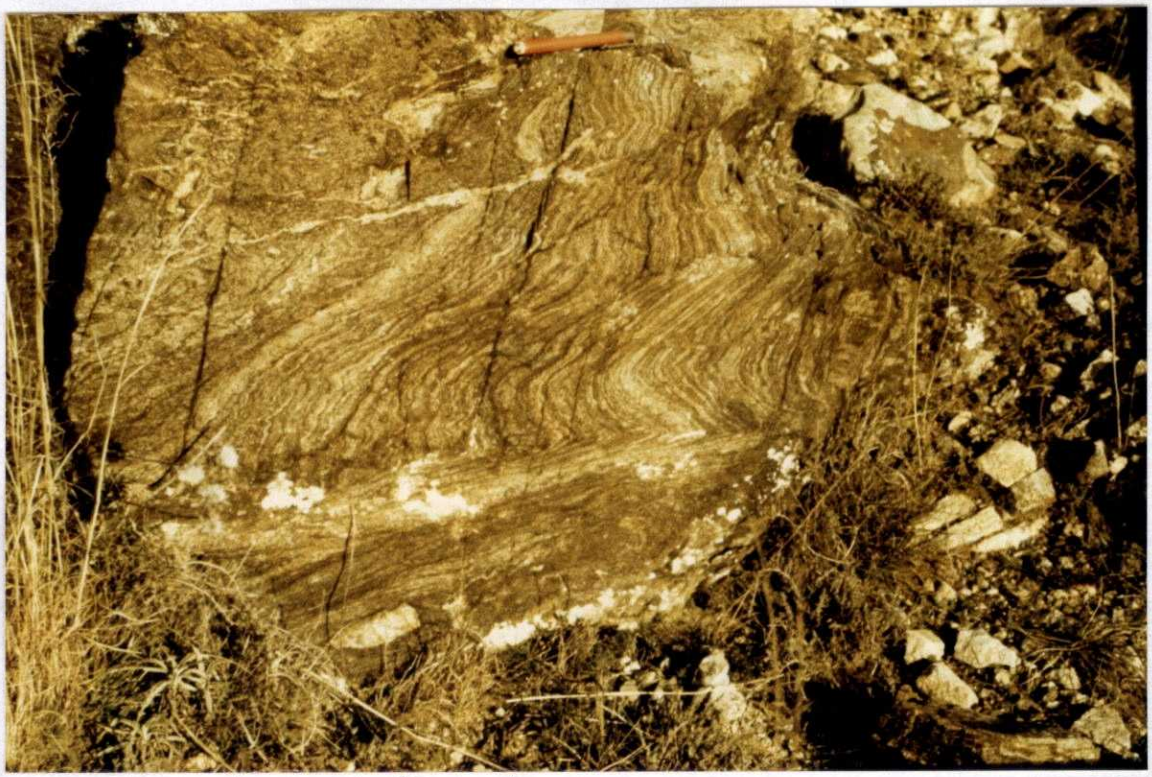
MP-9238

Ortoneises biotíticos bandeados, con la SP plegada por pliegues probablemente de D3, restíticos en granitoide inhomogéneo biotítico-cordierítico. Alrededores de Fuentetopino.



MP-9239 → NO TIENE UBICACION, NI EN P.S.M., NI EN MCC1

Ortoneises biotíticos bandeados, con la SP (probablemente S2) plegada por pliegues de D3. Junto al río Algodor, al O. de Villanueva de Bogas.



MP-9240 → NO TIENE UBICACION, NI EN P.S.M, NI EN MCC1.

Detalle de la anterior.



MP-9241

Granitoide sincinemático, biotítico, porfídico de tipo Argés-Guadamur.



MP-9242

Granitoide sincinemático de tipo Sotera. Facies biotítica con fenocristales dispersos, foliada, y facies de grano fino microporfídica desestructurada. Al S. de Villanueva de Bogas.



MP-9243

Granitoides, biotíticos, porfídicos sincinemáticos de tipo Moncloa.



MP-9244

Granitoides, biotíticos, porfídicos sincinemáticos de tipo Moncloa.



MP-9245

Granitoides, biotíticos, porfídicos sincinemáticos de tipo Moncloa, con enclaves, afectado por M2.



MP-9246

Granitoides sincinemáticos de tipo Moncloa, afectado por M2.



MP-9247

Granitoides sincinemáticos de tipo Moncloa, afectado por M2.



MP-9248

Granitoide inhomogéneo biotítico-cordierítico con enclaves metasedimentarios.



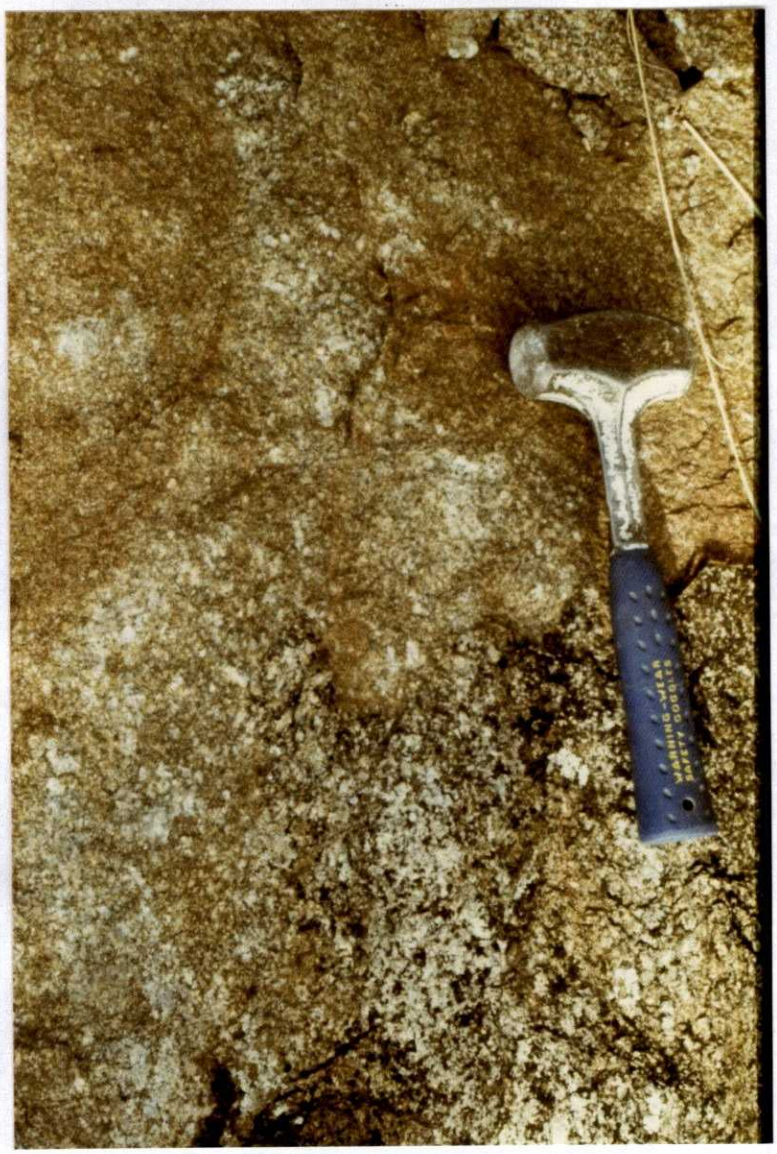
MP-9249

Granitoide inhomogéneo biotítico-cordierítico con agregados de cuarzo.



MP-9262 → NO TIENE UBICACION, NI EN P.S.N, NI EN MCC1

Granitoide inhomogéneo biotítico-cordierítico, con enclaves y agregados de cuarzo y de feldespato.



MP-9252 → NO TIENE UBICACION. NI EN P.S.M. NI EN MCC1

Enclave de granitoide sincinemático de tipo Argés-Guadamur en granitoide inhomogéneo biotítico-cordierítico.



MP-9253 .

Granitoide inhomogéneo biotítico-cordierítico con fenocristales de feldespato equidimensionales.



MP-9254

Granitoide inhomogéneo biotítico-cordierítico con bandeados leucocráticos.



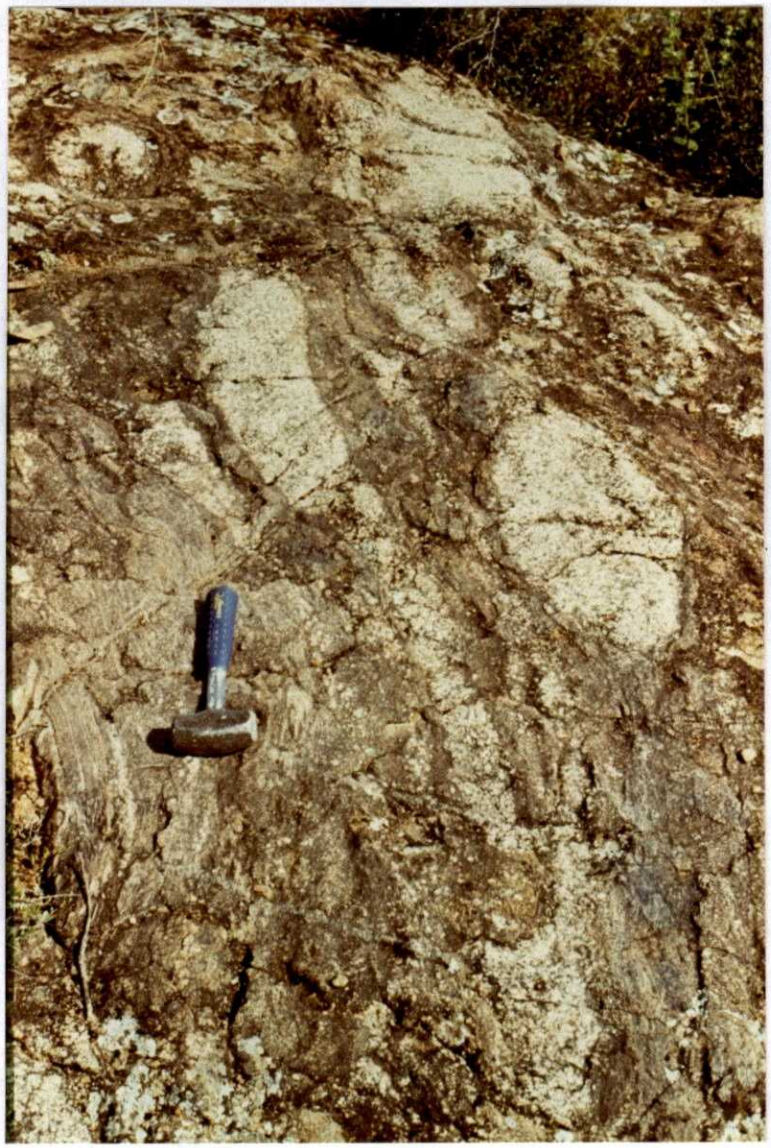
MP-9255

Leucogranitoides con foliación relicta, plegado, en granitoide inhomogéneo biotítico-cordierítico.



MP-9256

Fenocristales dispersos de feldespato, rectangulares en granitoide inhomogéneo biotítico-cordierítico.



MP-9257

Leucogranitoides cordieríticos con foliación relicta en granitoide inhomogéneo biotítico-cordierítico. Junto al río Algodor en el sector de Fuentehiguera.



MP-9258

Idem anterior.



MP-9259 → NO TIENE UBICACION, NI EN MCC1, NI EN P.S.M

Leucogranitoide inhomogéneo con bandeado de cordierita.



MP-9260

Leucogranitoide inhomogéneo. Area de Fuentetopino.



MS-9263

Aspcto general de las areniscas basales de la unidad cartográfica 24.



MS-9264

Aspcto general de las areniscas basales de la unidad cartográfica 24.



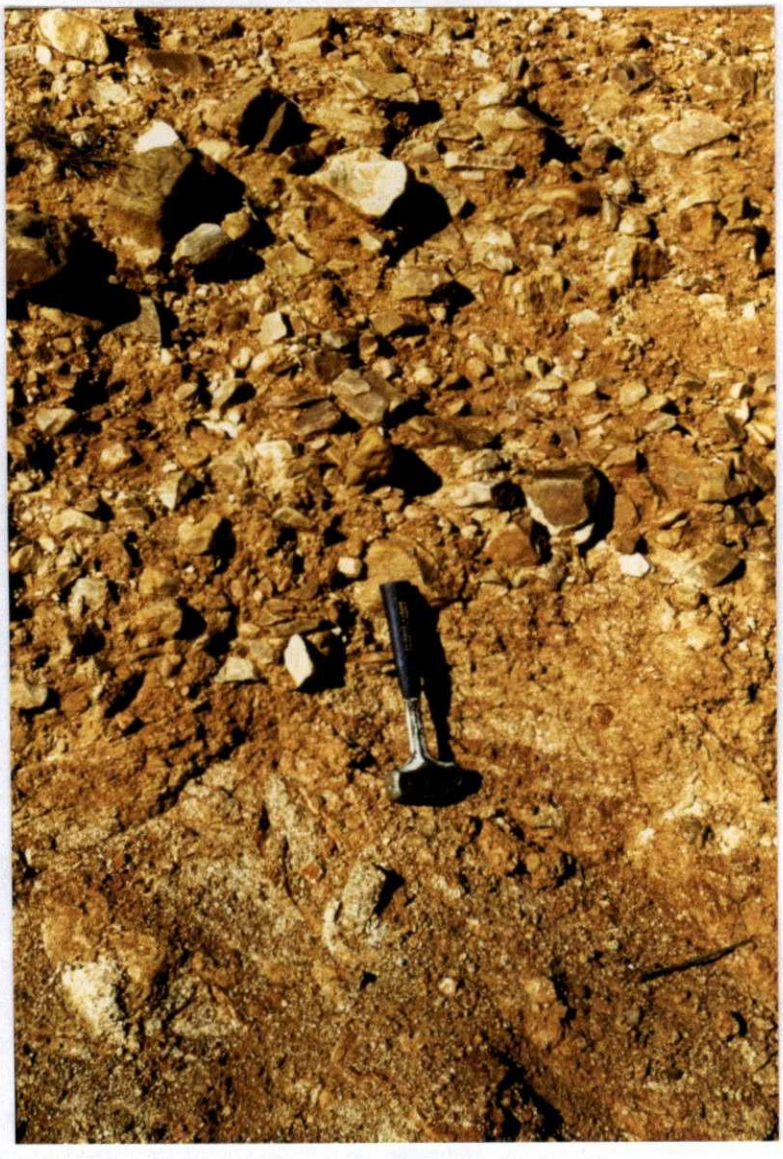
MS-9129→NO TIENE UBICACION, NI EN P.S.M, NI EN MCC1

Detalle de las calizas micríticas tabulares del tramo superior de la unidad 25.



MS-9130

Contacto entre los conglomerados cuarcíticos de la unidad 26 y las migmatitas. Obsérvese el conglomerado basal, la discordancia y la intensa alteración de las migmatitas.



MS-9131

Detalle de la anterior.



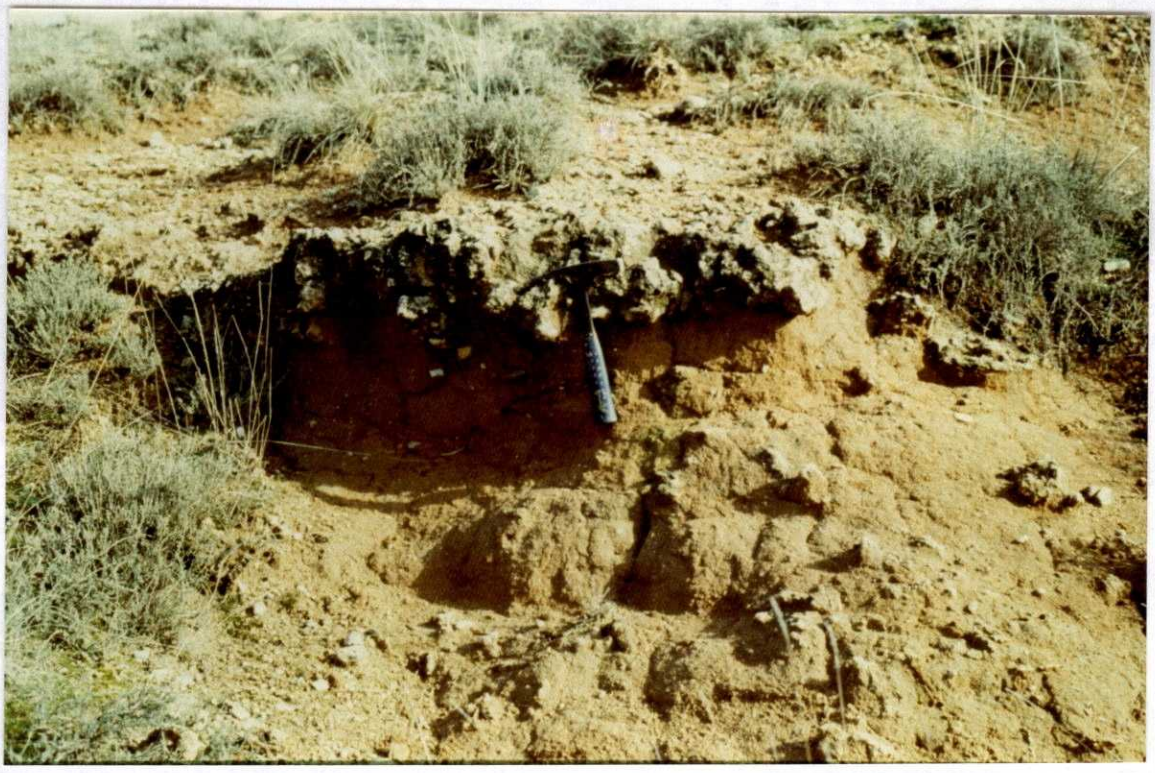
MS-9132

Tramo arcilloso de la parte alta de la unidad 28.



MS-9133

Aspecto general de afloramiento y expresión morfológica de arenas de la unidad 28.



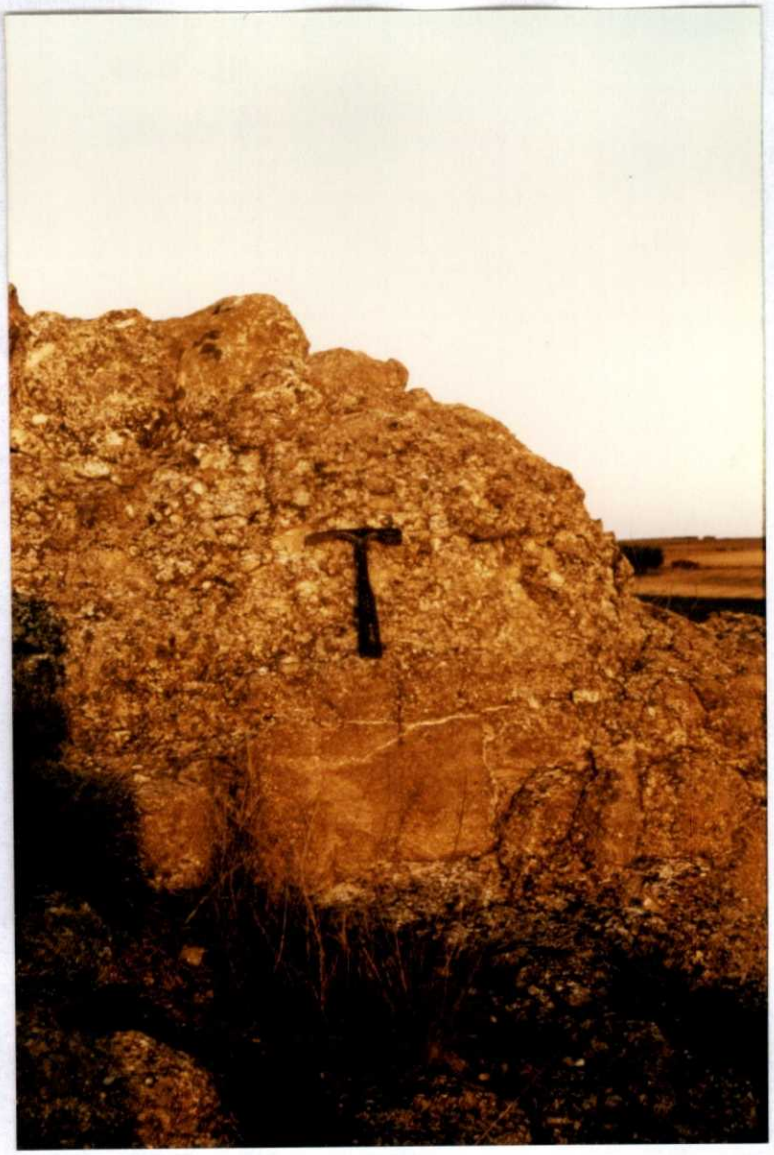
MS-9134

Cementación local de un canal conglomerático entre las arenas de la unidad 28.



MS-9135

Detalle de las arenas de la unidad 28 en las que se observa una zona bioturbada.



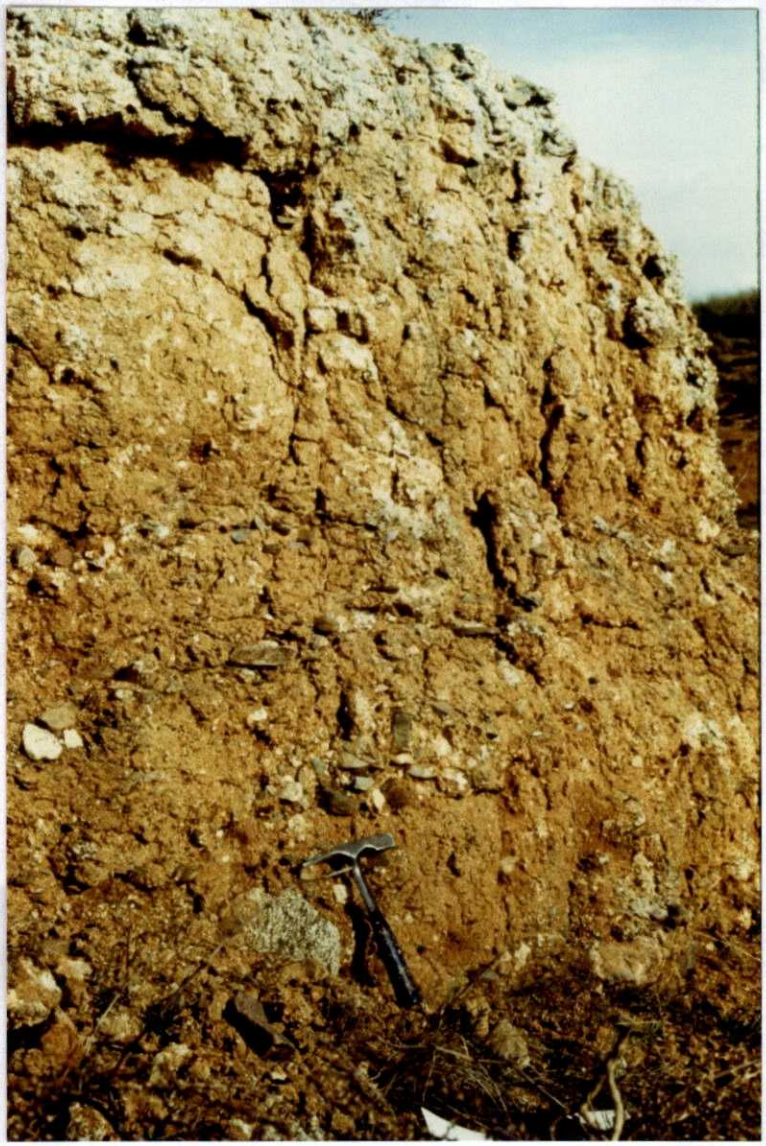
MS-9136

Aspecto general de los conglomerados de la unidad 30.



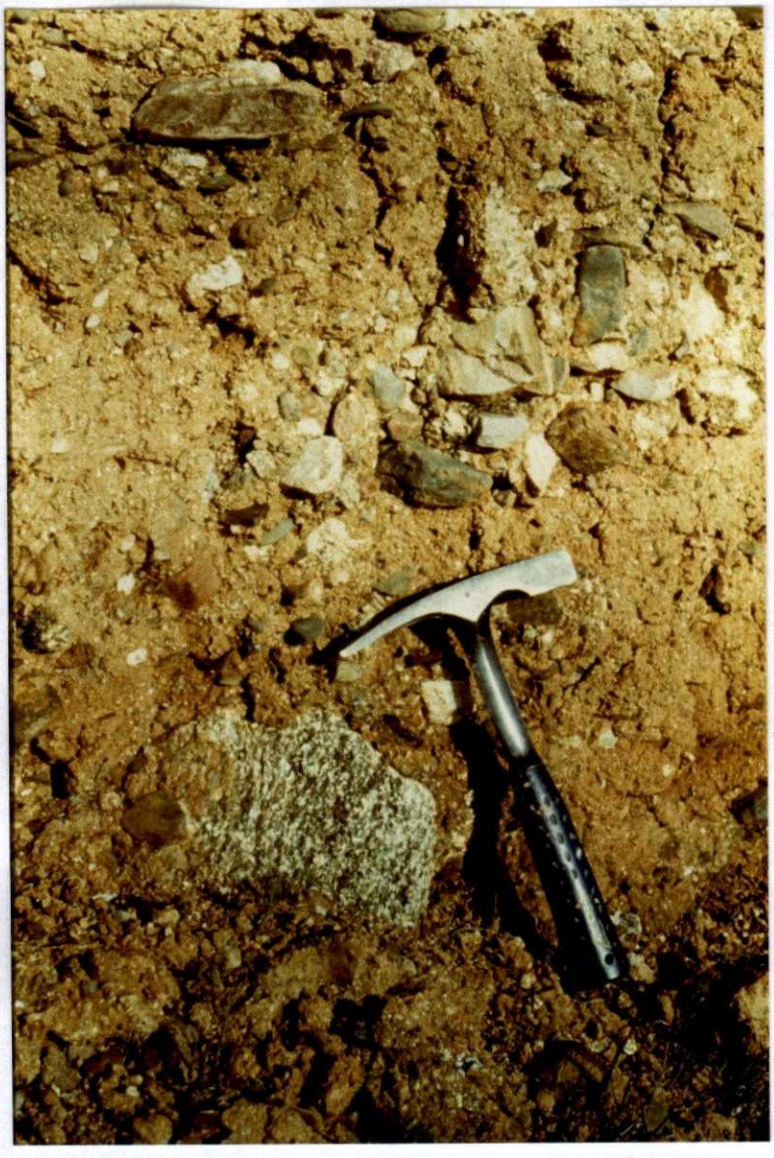
MS-9137

Detalle de la anterior



MS-9138

Vista general de un afloramiento de la unidad 31.



MS-9139

Detalle de la anterior. Se ve el claro carácter polimíctico.



MS-9140 → NO TIENE UBICACIÓN, NI EN P.S.M., NI EN MCC1

Bloque de granitoide inhomogéneo de la unidad migmatítica en uno de los tramos de cantos y bloques de la unidad 31.



MS-9141

Detalle del techo de la unidad 32 en el que se ven estratificaciones cruzadas (en el único punto donde son visibles en toda la extensión de la unidad).



MS-9142

Cristales de yeso diagenéticos que aparecen localmente en algunos puntos del techo de la unidad 32.



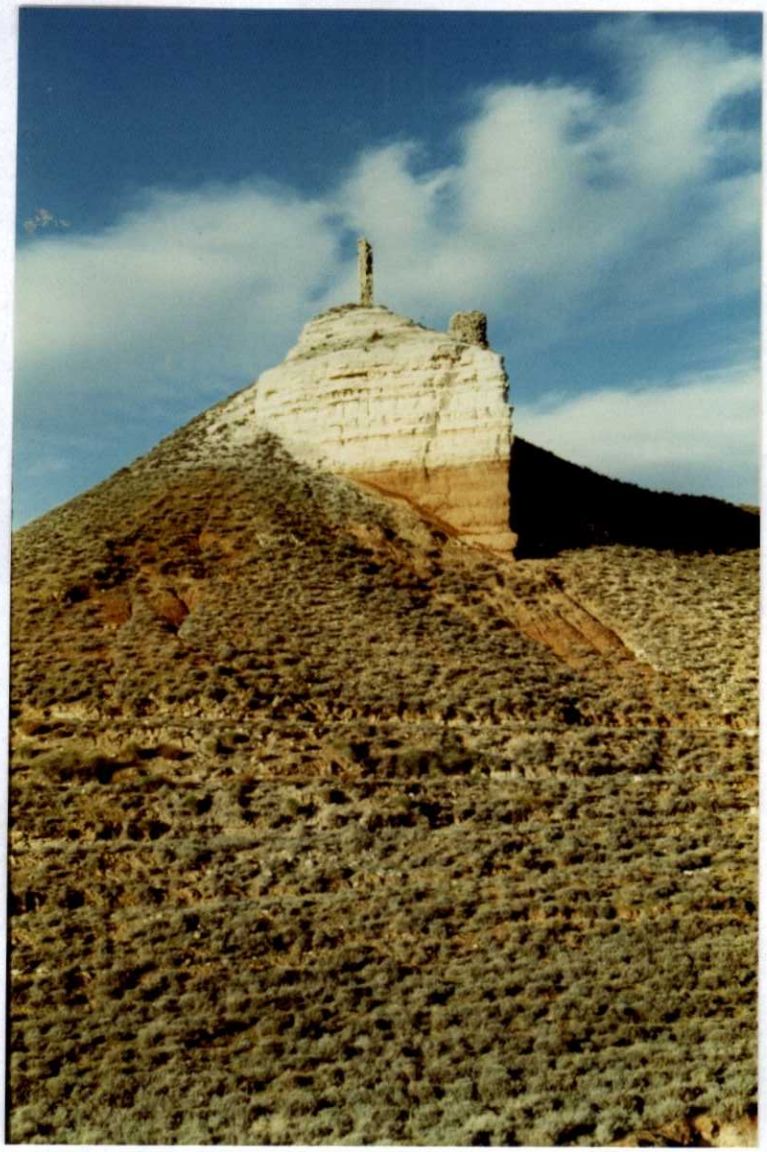
MS-9143

Aspecto de la bioturbación intensa de la unidad carbonatada 34.



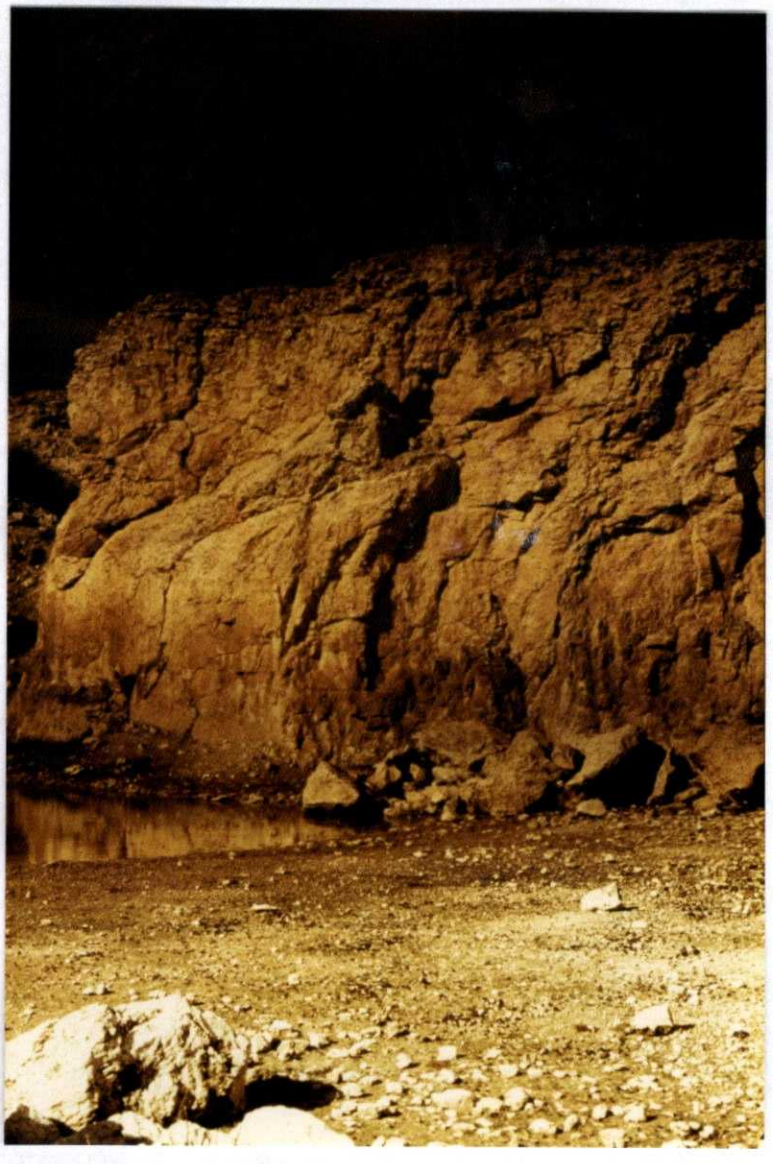
MS-9144 → NO TIENE UBICACION EN P.S.M. NI EN MCC1

Vista de las calizas blanco-grisáceas de la unidad 35.



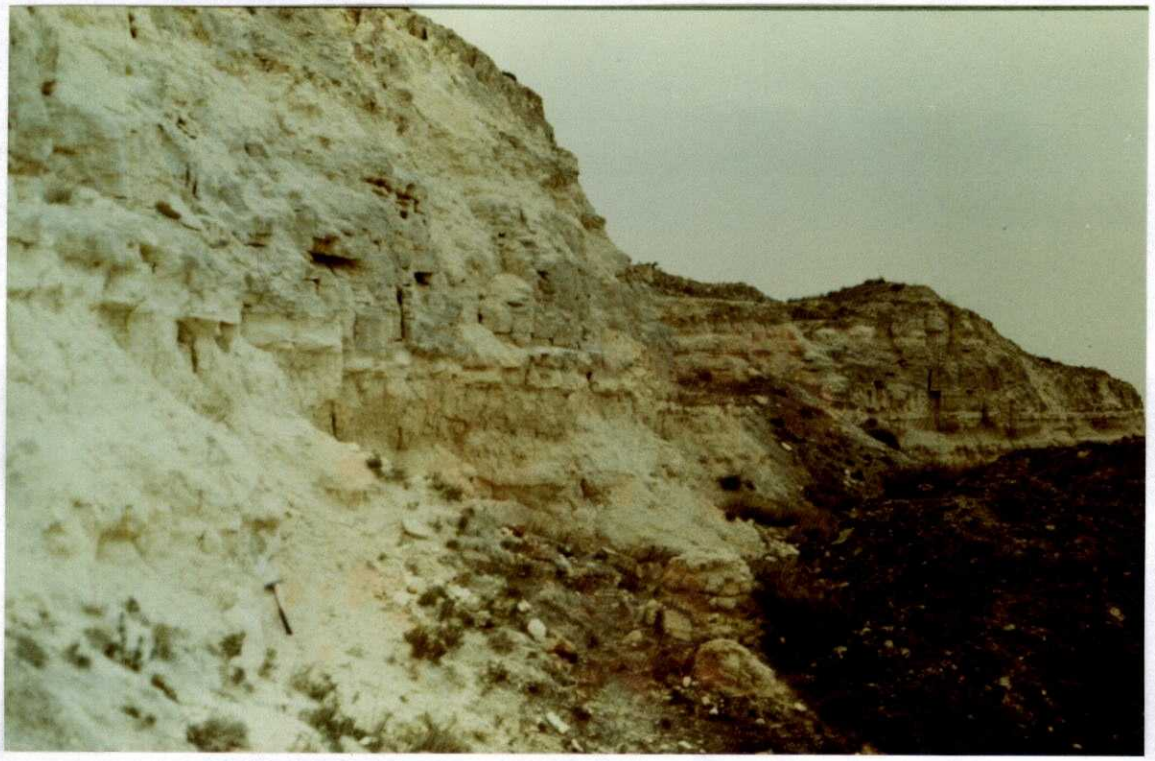
MS-9145

Aspecto general de las unidades 36 y 39 en el norte de la Hoja.



MS-9146

Aspecto de las calizas de la unidad 37



MS-9147

Yesos masivos tabulares de la unidad 39.



MS-9148

Yesos masivos tabulares de la unidad 39.



MS-9149

Yesos masivos tabulares de la unidad 39 en una cantera al este de Villanueva de Bogas.



MS-9150

Contacto entre las calizas del Páramo (40) y la unidad yesífera anterior (39).



MS-9232

Pequeño sinclinal en las calizas del páramo (40), debido a la disolución y/o movimientos halocinéticos de los yesos inferiores, en el único punto de la Hoja donde se ha podido observar.



MS-9233

Aspecto de un típico afloramiento de las calizas del páramo (40).



MS-9234

Contacto entre las calizas del páramo (40) y los yesos y arcillas superiores (41). Véase la brechificación local en el contacto.



MS-9235 → NO TIENE UBICACION EN P.S.M. NI EN MCC1

Cementación de un canal cuaternario en una terraza baja del Arroyo de Derramadero.






























WARNING - WEAR
SAFETY GOGGLES









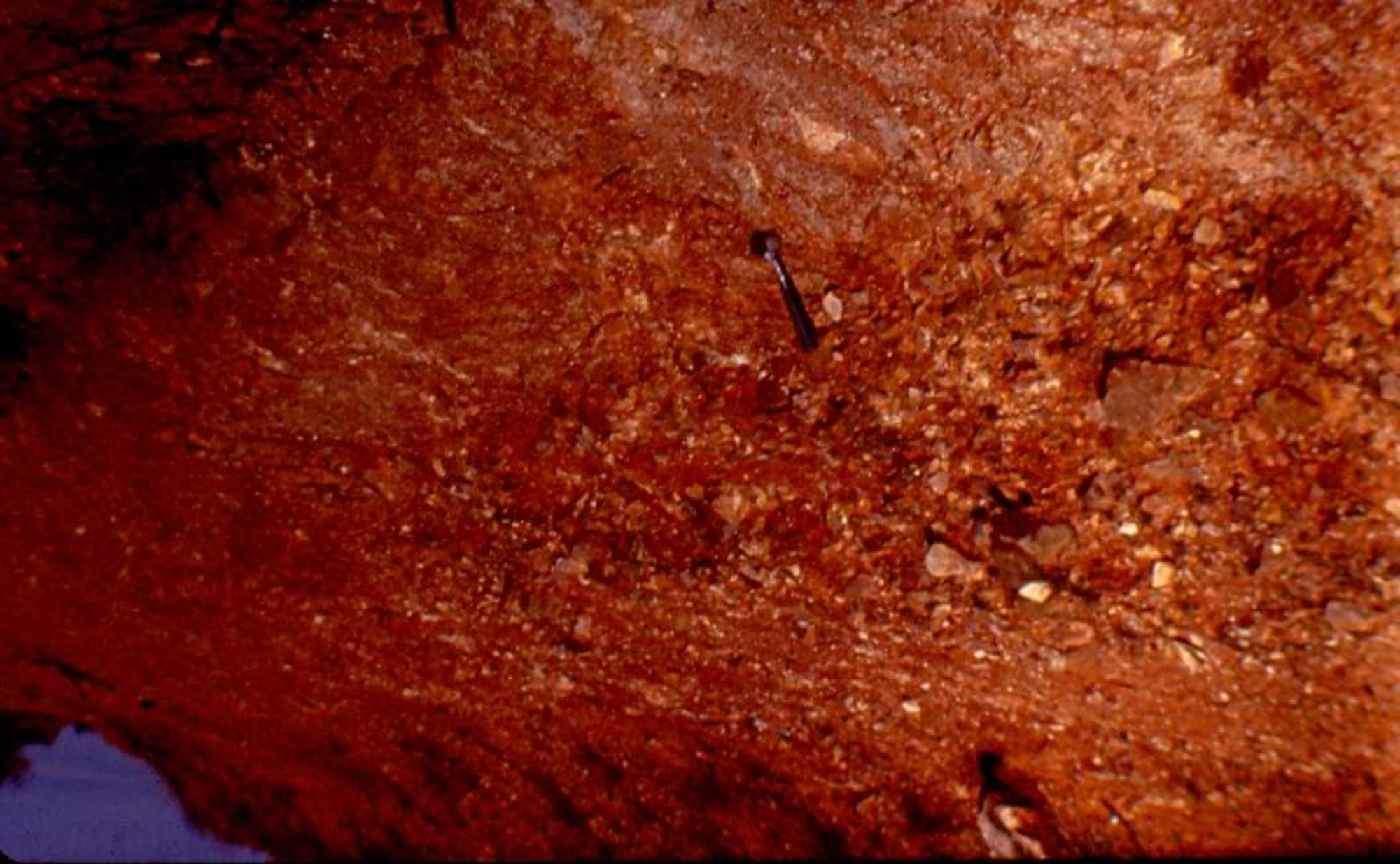

































ESTWING

























DM 9330

Detalle de las pizarras del Cámbrico Inferior, en las proximidades a la Ermita de Nuestra Señora de la Antigua al NE de Mora



DM 9331

Vista parcial de So en los niveles areniscosos de la base del Arenig en la Ermita de Ntra Señora de la Antigua al NE de Mora



DM 9332

Panorámica de Mora desde la Ermita de Nuestra Señora de la Antigua

1. Pizarras, limolitas, calizas y areniscas. Cámbrico Inferior
2. Cuarcitas, areniscas y pizarras. Ordovícico Inferior



DM 9333

Panorámica desde el Castillo de La Mora

1. Pizarras, limolitas, calizas y areniscas. Cámbrico Inferior
2. Cuarcitas, areniscas y pizarras. Ordovícico Inferior
3. Cuarcita armoricana. Ordovícico Inferior

DM 9335

Detalle de cuarcitas de la foto anterior con estratificación So N55E/51N y diaclasado subparalelo al martillo y dirección N150 E/72S





DM 9334

Talud de cuarcitas (Facies armonicana); es una estratificación So = N55E/42 N y plano de falla N90E/40S, al S de Cerro Buey



DM 9336

Panorámica del Sinclinal de Arroyo de Prado

1. Cuarcitas, areniscas y pizarras Ordovícico Inferior
2. Cuarcita armoricana Ordovícico Inferior
3. Cuarcita, arenisca y pizarras
4. Sedimentos cuaternarios



DM 9337

Panorámica de los relieves del Ordovícico Inferior en la CN 402 entre los Kms 74-78 (Mora-Tembleque)

1. Cuarcita armonicana
2. Cuarcitas, areniscas y pizarras



EC 9220

Cantera en el monzogranito biotítico (Mora-Menasalbas) de la que se extraen pequeños bloques utilizados en sillería. Presenta dos juegos de diaclasas N85ºE y N170ºE (muestra EC-9213).



EC 9221

Detalle del monzogranito de la cantera anterior. Se reconoce la textura heterogranular con megacristales de 2-15 cm y cuarzo globulosos. En primer término un "enclave" leucocrático microgranudo a afanítico con pequeñas biotitas orientadas al norte.



EC 9222

Detalle del granito (monzogranito) de la cantera anterior (EC 9220) en la que se aprecian cristales maclados de unos 13 cm .



EC 9223

Monzogranito de Mora-Menasalbas con megacristales de hasta 8 cm orientados N30ºE.



EC 9225

Diques aplíticos N60°E buzando al S 70° intruyendo a granitos (monzogranitos) tipo Mora-Menasalbas, con deformación cataclástica (W de Mora).



EC 9224

Granito (monzogranito) biotítico de grano grueso con megacristales de hasta 5 cm orientios N65°E. Presenta diaclasado N70°E y N140°E.



EC 9226

Contacto mecánico de falla normal (Banda milonítica) entre pizarras negras "Facies Solera" (Cámbrico Inferior) y granitoides inhomogéneos tipo Argés-Guadamur (NE de Mora).



EC 9227

Detalle del granitoide Argés-Guadamur afectado por la deformación milonítica. Obsérvese el alto grado de alteración que presentan estas rocas.